

Stichwortliste Geomorphologie

(z.T. übernommen von Prof. Dr. R. Glawion, Prof. Dr. H. Gossmann, Prof. Dr. B. Metz, Prof. Dr. H. Müller, Albert-Ludwigs-Universität Freiburg, Sommersemester 1991)

blau markiert sind in der VL/UE genannte Begriffe bzw. besonders wichtige Stichworte

Themen:

- Endogene Kräfte und Vorgänge
- Exogene Kräfte und Vorgänge
 1. Verwitterungsprozesse
 2. Erosion und Denudation
 3. Korrosion
 4. Bewegtes Eis
 5. Gefornis im gletscherfreien Gebiet
 6. Die Arbeit des Meeres
 7. Die Arbeit des Windes

Thema: Endogene Kräfte und Vorgänge (Stichworte in systematischer Reihenfolge, z.T. Wissen aus „Einführung in die Geologie“)

Hypsographische Kurve

Endogene Formen (Strukturformen)
Exogene Formen (Skulpturformen)

Tektonik

Epirogenese

Kontinentaldrift
Plattentektonik

Mohorovic-Diskontinuität (Moho)
Kontinentale Kruste
Ozeanische Kruste
Isostasie
Sima
Sial
Subduktion
Lithosphäre
Asthenosphäre
Mittelozeanische Rücken
Erdbeben
Vulkanismus
Ring of Fire

Orogenese

Bruchtektonik Bruch

	Horst	
	Graben	
	Staffelbruch	
	Pultscholle, synthetisch gekippt	
	Pultscholle, antithetisch gekippt	
	Flexur	
Faltentektonik	Falte	
	Synklinale (Mulde)	
	Antiklinale (Sattel)	
	Muldenachse	
	Sattelachse	
	Achsebenen	
Epirovarianz		
Klimavarianz		
Petrovarianz		
Magmatische Gesteine	Plutonite	
	Vulkanite	
	Tuffe	
Sedimentgesteine	Klastische Sedimente	
	Chemische Sedimente	
	Biogene Sedimente	
	Schichtung	
	Falten	
	Streichen	
	Klüftung	
Metamorphe Gesteine		
Vulkanische Formen	Spaltenvulkanismus	
	Stratovulkane	
	Aschenvulkane	Vulkanische Bomben
		Lapilli
	Schildvulkane	
	(Lavavulkane)	Magma
		Lava
	Staukuppen	
	Quellkuppen	
	Intrusion	
	Effusion	
	Fumarolen, Solfataren, Geysere, Thermen, Moffeten	
	Maare	
	Reliefumkehr	

Thema: Exogene Kräfte und Vorgänge

1. Verwitterung (Stichworte in alphabetischer Reihenfolge)

Abgrusung	Lösungsverwitterung
Abschuppung	Oberflächenverwitterung
Allitverwitterung	Rindenbildung
Anhydrit	Rotlehm
Aridität	Salzsprengung
Boden	Sand
Bodenart	Säureverwitterung
Bodenbildung	Schluff
Bodenprofil	Schwarz-Weiß-Effekt
Bodentyp	Siallitverwitterung
Catena	Frostwechselhäufigkeit
Desquamation	Grus
Detritus	Hydratation
Druckentlastungsklüfte	Hydrolyse
Frostschittzone	Säureverwitterung
Frostsprengung	
Kapillarströme	Staub
Kies	Tiefenverwitterung
Korngrößenfraktionen	Ton
Korngrößenspektrum	Vergrusung
Laterit	Wollsackverwitterung
Lehm	

2. Erosion und Denudation

a) Prozesse auf Hängen, Hangformung

Absteigende Entwicklung (n. Penck)	Haldenhang
Aufsteigende Entwicklung (n. Penck)	Hangsegment
Arroyos	Kammeis
Badlandbildung	Klingen
Barrancos	Konkaver Hang
Basisdistanz	Konvexer Hang
Bodenerosion	Massenselbstbewegung
Calanchen	Mure
Denudation	Murgang
Endrumpf	Natürlicher Böschungswinkel
Erdpyramiden	Pediment
Erosion	Peneplain
Fastebene	Racheln
Fußfläche	Reliefenergie
Gekriech	Runsen
Glacis	Salztonebene
Gullyerosion	Schutthalde
Hakenschlagen	Soil Erosion

Solifluktion
Spüldenudation
Steinschlagwand

Subnivales Bodenfließen
Temporäre Abtragungsbasis

b) Fluviale Prozesse und Talformen (in systematischer Reihenfolge)

Laminare Fließen
Turbulentes Fließen
Strömender Abfluß
Schießender Abfluß

Grundwalze
Deckwalze
Standwalze
Evorsion

Strudeloch
Tiefenerosion
Seitenerosion (Lateral-)
Korrasion
Rückschreitende Erosion

Regressionsdurchbruch
Überlaufdurchbruch
Gleithang
Prallhang
Stromstrich
Talweg
Mäander Zwangs-
 Sohlen-
 Freie-

Umlaufberg
Altarm
Dammufer
Flussverwilderung
Anastomisierung
Bifurkation

Antezedentes Durchbruchstal
Klamm
Canyon
Kerntal
Muldental
Sohlentale
Tilke, Tilkensprengung
Aue, Auelehm
Hochflutbett
Niederterrasse
Mittelterrasse
Hauptterrasse
Hochterrasse
Deckenschotter

Torrente
Arroyo
Wadi
Flussanzapfung
Flussumlenkung
Talasymetrie
Isoklinaltal
Antiklinaltal
Erosionsbasis
Erosionsterminante
Gleichgewichtsprofil
Vorfluter
Autochtoner Fluß
Allochthoner Fluß
Reifestadien eines Tales

c) Abtragungsflächen (in systematischer Reihenfolge)

Zyklentheorie
Erosionszyklus
Primärrumpf
Endrumpf
Fastebene
Peneplain

Flächenspülung
Flächenbildungszonen
Flächenspülzone
Spülflächen
Doppelte Einebnungsfläche

Spüloberfläche
Verwitterungsbasisfläche
Spülmulden
Spülmuldenflur
Flachmuldentäler
Spülpedimente
Spülsockel
Spülscheide
Schildinselberge
Inselberge
Subkutane Seitendenudation

Initialfläche
Lateralerosion
Salztonebene

Rumpftreppe
Flächentreppe
Piedmontfläche
Piedmonttreppe
Rumpfstufe
Dreiecksbuchten

Schichtfläche-Schnittfläche
Strukturfläche-Skulpturfläche

Intramontane Ebenen
Kehltäler
Reliefsockel
Kolke durch Walzen
Pediment
Pedimentgasse
Pediplanation
Felsflussflächen
Fußflächen
Hangknick

Altflächen
Flächenreste
Raxlandschaft
Gipfelstur
Mesetas
Mesas
Bohnerzlehme
Feuersteinlehme

d) Schichtstufenrelief (Stichworte in systematischer Reihenfolge)

Rumpfflächenlandschaften-Schichtstufenlandschaften-Schichttafeln
-Schichtstufen-Schichtrippen

Landterrassen, Stufenflächen
Basislandterrasse
Stufenhang
Landstufe
Walm
Trauf
First
Stirnstufe
Achterstufe
Stufenrandbuchten
Stufenrandflüsse
Konsequente Flüsse
Obsequente Flüsse
Subsequente Flüsse
Zeugenberge
Ausliegerberge
Geköpfte Täler
Schnittflächen-Schichtflächen-Primärschnittfläche
Quellhorizont

Alternierende Abtragung

3. Korrosion (Karstprozesse und -formen) (Stichworte in systematischer Reihenfolge)

Löslichkeit

Lösungsvorgang

Agressive Kohlensäure
Gleichgewichtskohlensäure

Verkarstung

Karstformen

Nackter Karst
Mediterraner Karst
Hochgebirgskarst

Karren Rillen-
 Rinnen-
 Tritt-
 Mäander-
 Kluft-
 Rund-
 Loch-

Kamenitza
Strichtreppenkarst

Unterirdischer Karst
Erdfälle

Einsturz-
Ponor-
Karstschlot

Abgedeckter Karst

Höhlen Vadoser Raum
 Phreatischer Raum
 Inkasion
 Ellipsengang
 Kalksinter
 Stalagmiten
 Stalagtiten
 Helictiten
 Kalzitrosett
 Sinterfahne
 Sintervorhan
 Sinterbelag
 Sinterstufen

Tropenkarst

Kegelkarst Karststrandbe
Turmkarst Fußhöhlen
Cockpits

Doline Schüssel-
 Trichter-

Uvala
Polje

Ponor
Estavelle

4. Bewegtes Eis (Stichworte in systematischer Reihenfolge)

Ablation

Sublimation

Firnlinie

Schneegrenze Klimatische S.
 Orographische S.
 Temporäre S.

Diagenese

Schnee
Firn
Gletschereis
Blätterung
Ogiven

Gletscher

Reliefuntergeordnete Gl.
Talgletscher
Gehängegletscher
Vorlandgletscher
(Eisstromnetz)

Reliefübergeordnete Gl.
Plateaugletscher
Inlandeis

Gletscherarbeit

Detersion
Detraktion
Exaration
Gletscherschrammen
Rundhöcker

Kar Karschwelle
 Karrückwand
 Karsee

Trogtal Trogsohle
 Troghang
 Trogkante
 Trogschulter
 Schliffkehle
 Schliffbord

Hängetal

Wallmoräne

Randmoräne
Endmoräne
Stirnmoräne
Ufermoräne

Nährgebiet

Zehrgebiet

Gletscherzunge

Gletscherbewegung

Quasi-laminares Fließen
Blockschollenbewegung

Gletscherspalten

Bergschrund
Randkluft
Randspalten
Querspalten
Längsspalten
Radialspalten
Gletscherbruch

Abgelagerte Moräne

Grundmoräne
Drumlin
G.Decke

Seracs

Gletschertisch
Mittagslöcher
Kryokonitlöcher
Schmelzlöcher
Gletschermühle
Gletschertopf
Gletschersumpf
Eissee
Gletschertor
Zungenbecken

Eiszerfallslandschaft Kames
 Kamesterrasse
 Toteiskessel
 Sölle
 Os

Gletschervorfeld

Sander
Urstromtal

Jungmoräne

Altmoräne

Gletscherablagerungen

Bewegte Moräne

Untermoräne
Innenmoräne
Obermoräne

Mittelmoräne

Seitenmoräne

Jungmoräne

Altmoräne

Kaltzeiten (Glaziale)

Warmzeiten (Interglaziale)

Stadiale

Interstadiale

Glaziale Serie der Jungmoränenlandschaft Norddeutschland

Glaziale Serie im Alpenvorland

5. Gefronnis im gletscherfreien Gebiet (Stichworte i systematischer Reihenfolge)

Periglazial

Dauerfrostboden

Permafrost

Bodengefornnis Auftauboden

Dauerfrostboden

Niefrostboden

Frostfront

Kryoturbation

Würgeböden

Brodelböden

Taschenböden

Tropfenböden

Solifluktion Freie S.

Gebundene S.

Gelisolifluktion

Frostwechsel

Frostwechselhäufigkeit

Frostmusterböden

Tundrenpolygone

Eiskeilpseudomorphose

Eisrindeneffekt

Talbildungzone

Frostschuttzone

Ortsböden

Wanderböden

Wanderschutt

Löß

Flottlehm

Flottsand

Pingo

Polygonböden

Steinstreifen

Eiskeilnetz

Eiskeil

Lößkindl

Schwemmlöß

Fließlöß

6. Die Arbeit des Meeres (Stichworte in systematischer Reihenfolge)

Wellen	Oszillationswellen Translationswellen	Brandung	Sandschorre Brandungskehle Brandungsgeröll
Orbitalbewegung der Wellen			
Einzellwellen		Strandbarre	
Tsunamis		Strandwall	
Transgression		Strandversetzung	
Regresssion			
Ingression		Korallenriffküste	Atoll Barriereriff Saumriff
Wattenküste	Priele Schlick Baljen Hallig	Küstenformen	Fjord Fjärde Schären Fören Bodden Rias Ästuar Calanquen Canale
Ausgleichsküste	Haff Nehrung Lagune Lido Haken		
Meeresspiegelsschwankung		Steilküste Flachküste Längsküste Querküste Diagonalküste Senkungsküste Hebungsküste Mangrovenküste Schelf Delta Deltaschichtung Kontinentalabhängig Submarine Canyons	
Fluten	Sturmflut Springflut		
Abrasion			
Abrasionplattform			
Kliff			
Schorre	Felsschorre Wallriff Krustenriff		

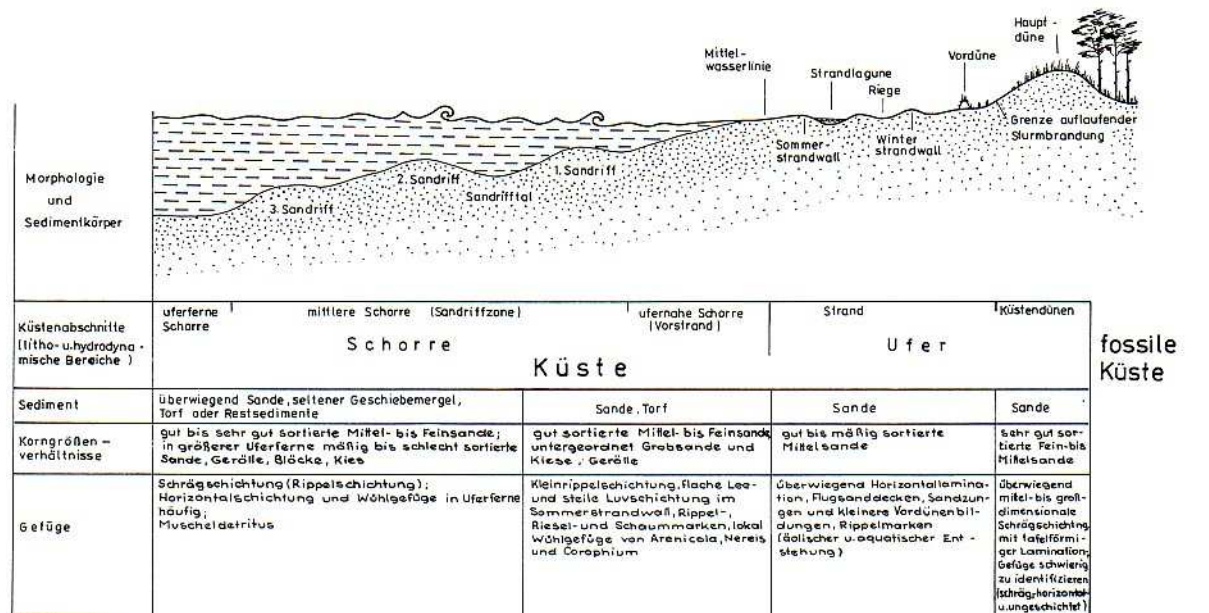


Abbildung: Morphologie der Flachküste. Aus: Geyer, O.F. & Leinfelder, R. (1995) Die deutsche Ostseeküste. Sammlung Geol. Führer Bd. 88, Borntraeger

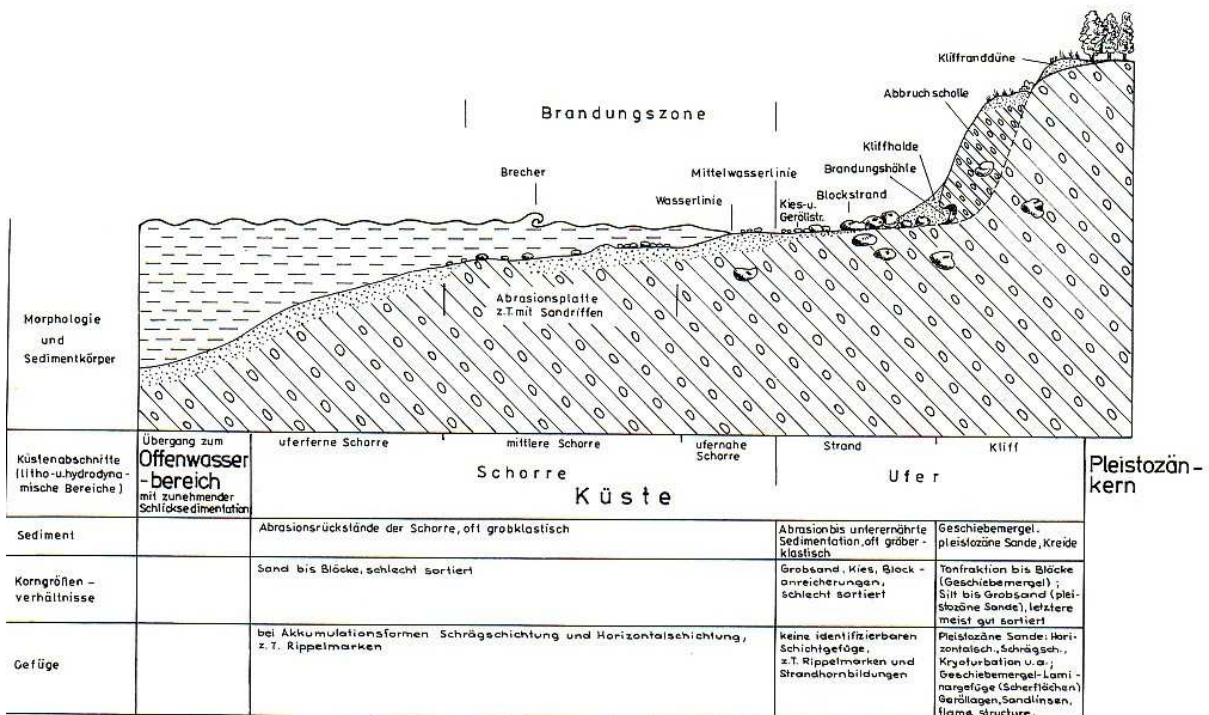


Abbildung: Morphologie der Steilküste. Aus: Geyer, O.F. & Leinfelder, R. (1995) Die deutsche Ostseeküste. Sammlung Geol. Führer Bd. 88, Borntraeger

7. Die Arbeit des Windes (Stichworte in systematischer Reihenfolge)

Deflation	Deflationswanne	Windkorrasion	Windkanter
Saltation			Pilzfelsen
Reptation			
Düne	Sicheldüne	Wüste	Serir
	Parabeldüne		Hammada
	Längsdüne		Erg
	Querdüne		
	Binnendüne		